

저작자표시-비영리-변경금지 2.0 대한민국

이용자는 아래의 조건을 따르는 경우에 한하여 자유롭게

• 이 저작물을 복제, 배포, 전송, 전시, 공연 및 방송할 수 있습니다.

다음과 같은 조건을 따라야 합니다:



저작자표시. 귀하는 원저작자를 표시하여야 합니다.



비영리, 귀하는 이 저작물을 영리 목적으로 이용할 수 없습니다.



변경금지, 귀하는 이 저작물을 개작, 변형 또는 가공할 수 없습니다.

- 귀하는, 이 저작물의 재이용이나 배포의 경우, 이 저작물에 적용된 이용허락조건을 명확하게 나타내어야 합니다.
- 저작권자로부터 별도의 허가를 받으면 이러한 조건들은 적용되지 않습니다.

저작권법에 따른 이용자의 권리는 위의 내용에 의하여 영향을 받지 않습니다.

이것은 <u>이용허락규약(Legal Code)</u>을 미해하기 쉽게 요약한 것입니다.

Disclaimer 📮



공 학 석 사 학 위 논 문

페이저 컨쥬게이션 수중음향통신의 비트오류 특성



2007 년 2 월

부경대학교 산업대학원 정 보 통 신 공 학 과 이 필 준

공 학 석 사 학 위 논 문

페이저 컨쥬게이션 수중음향통신의 비트오류 특성

지도교수 윤종 락

이 論文을 工學碩士 學位論文으로 提出함

2007년 2월 부경대학교산업대학원 정보통신공학과 이 필 준

이 논문을 이필준의 공학석사 학위논문으로 인준함

2006 년 12 월 일

주 심 공학박사 하덕호 (인)

위 원 공학박사 정신일 (인)

위 원 공학박사 윤종락 (인)

◈ 목차 ◈

Abstract

1.	서론	······································	
2.	이론	4	ŀ
	2.1	페이저 컨쥬게이션 수중 음향 통신4	
	2.2	페이저 컨쥬게이션 신호8	,
	2.3	BPSK 신호의 비트오류 분석11	
3.	모으	실험 및 결과14	
4.	결론	23	
참	고 등	구 헌 ···································	ŀ

Bit Error Characteristics on Phase Conjugation Underwater Acoustic Communication

Pil-jun Lee

Department of Telematics Engineering
Graduate School of Industry
Pukyong National University

Abstract

In underwater acoustic channel, time spread due to the multipath induces Inter-Symbol Interference and degrades the performance of the underwater acoustic communication system.

This paper proposes the phase conjugation technique which is applied for the improvement of transmission performance through the underwater acoustic channels. It uses single probe pulse and deduces information signal from the probe pulse response. At each receiver element of the array, the transmitted data stream is convolved, summed and demodulated with the time reversed probe response signal. The phase conjugation improves the signal to multipath interference ratio and reduces the frequency selectivity. Its frequency selectivity depends on the number of receiver array sensors and time varying source to receiver range.

In this paper, frequency selectivity of the phase conjugation and its effects on bit error of underwater acoustic communication is analyzed by numerical simulation.

1. 서 론

수중음향통신시스템의 송신기에서 방사되는 음파는 수신기에 도달하는 동안 시변 다중경로를 거치게 되고 수신기에 수신되는 신호는 지연 확산특성을 갖는다. 따라서 전송신호의 대역폭 내에서 주파수에 따라 신호의 크기가 다르게 되어 주파수 선택적인 채널이 되며 송수신기의 상대운동은이러한 채널 주파수 선택성의 시공간적 변화를 유발한다. 결과적으로 송신하는 정보 심벌간의 상호간섭(Inter-Symbol Interference : ISI)이 심화되어 전송신호의 비트 오류가 증가한다.

인코히어런트 변복조 기법인 FSK(Frequency Shift Keying)를 사용할경우 다중경로에 의한 반사파의 에너지가 소멸한 후에 다음 정보 심벌에대응되는 신호를 보내게 되므로 전송률이 낮아 고속데이터 전송에는 부적합하고 MFSK(Multiple Frequency Shift Keying)를 적용할 경우 고속전송이 가능하나 대역효율이 낮아지게 된다[1-2]. 따라서 수중의 화상 데이터와 같은 고속데이터 전송 시스템에는 코히어런트 변복조기법이 요구되며 이 경우 지연확산에 의한 ISI가 증가하게 된다. 표 1은 코히어런트 변복조기법을 이용한 수중음향통신시스템의 전송성능을 보여주고 있다.

다중경로 영향을 최소화 하기위한 방법으로 등화기를 적용할 경우[3] 시간확산의 크기에 비례하는 탭수의 증가에 의해 계산량이 증가하여 실시 간 통신이 어렵게 되고 다중반사파의 효과를 경감시키기 위해 지향성 송 수신기를 이용할 경우에는 송수신기의 위치가 고정되어야 하고 아울러 음 파 전파경로의 직진성이 유지되어야 한다. 또한 다수의 협대역 부반송파 를 적용하는 OFDM(Orthogonal Frequency Division Multiplexing)방식으 로 다중경로에 의한 채널의 주파수 선택성에 대응하려는 연구도 있으나

표 1. 코히어런트 변복조기법을 이용한 수중음향통신시스템

developed by	test channel	modulation	array	equalizer	band	data rate
U.Birmingham, UK	medium (0.5~1.5n.mi), shallow	DPSK 2-DPSK	Tx and Rx, fixed	none	50kHz	10kbps 20kbps
U.Newcastle, UK	medium(0.5n.mi), shallow	4-DPSK	Rx, LMS	none/ DFE(LMS)	50kHz	10kbps
Northeastern U ./ WHOI	long deep (~100n.mi) long shallow (~50n.mi) medium shallow (1n.mi),	M-PSK 8-QAM M=4,8,16	Rx RLS	multichannel DFE(RLS)	1 kHz 1 kHz 15kHz	1kbps 2kbps 40kbps

송수신 신호의 처리가 복잡한 단점이 있다[4].

본 연구에서는 시역전(time reversal) 기술 혹은 정합필터 기술의 하나인 페이저 컨쥬게이션(phase conjugation)기술[5-6]을 적용하여 다중반사에 의한 전송성능 저하를 개선하고자 한다. 이 기법은 전송채널의 응답을 추정하기 위해 시험신호펄스(probe pulse)를 정보신호의 전송 전에 송신하고, 시험신호 펄스의 응답신호를 이용하여 정보신호를 추정하는 다이버시티 처리기법이다. 송신기에서 시험신호 펄스를 전송한 후 정보 신호열을 전송하며, 수신기 배열의 각 센서에서 수신된 신호는 시험신호펄스의 응답신호와 페이저 컨쥬게이션 되어 동기 가산 합성된 후 복조된다[7].

결과적으로 ISI를 유발시키는 각각의 정보신호의 부엽(side lobe)이 억제되고 각 정보신호에 대응되는 주엽(main lobe)이 증폭되어 주엽 신호에 대한 다중반사 간섭신호비가 증가하고 동시에 주파수 선택성이 경감되어 ISI가 억제된다. 그러나 제안되는 기법은 배열센서의 개수, 배열의 공간적 크기, 다중경로의 형태, 송수신기간의 상대 운동 등의 수중음향채널의 시공간적 변화에 의해 그 성능이 결정된다.

본 연구에 적용한 시험신호펄스는 반송주파수로 변조된 단일 이진정보에 대응되는 펄스신호이며 잔향시간에 비례하는 휴지시간을 삽입한 후 정보신호열을 전송하였고 배열 센서의 개수와 송수신기의 상대운동특성에 따른 제안하는 기법의 주엽 신호에 대한 부엽 신호비 즉 신호에 대한 다중경로 간섭 신호비 특성과 음향채널의 주파수 선택성을 해석하였다. ISI에 의한 비트오류 특성은 BPSK 방식을 대상으로 하였다.

기존의 페이저 컨쥬게이션 기법을 이용한 수중 음향통신에 관한 이론적, 실험적 연구[7-9]에서, 주파수 영역의 페이저 컨쥬게이션 처리 신호 특성해석은 수직 선배열이 전체 수층에 걸쳐 위치하는 것으로 가정하고 모드이론에 의한 모드 직교성으로 해양의 음파전달 함수를 해석하여 주엽의 증폭효과만 보이고 배열의 크기, 센서개수 및 송수신기의 상대운동에 따른 주엽 및 부엽의 특성과 이에 따른 통신채널의 주파수 선택성은 보이지 못하고 있다. 아울러 반송주파수가 수 Khz 이상인 경우에는 모드이론은 부적합하므로 수치 모의실험의 반송주파수는 수 백 Hz로 제한하였다.

본 연구는 음선이론을 기초로, 잔향을 고려하지 않은 이산적인 시변 다중경로 상호간의 지연시간 특성, 해면 및 해저 경계면 반사계수, 배열 센서 개수, 송수신기의 상대운동에 따른 페이저 컨쥬게이션 신호의 주엽 신호에 대한 부엽 신호비, 채널의 주파수 선택성을 해석하고 이들이 비트오류에 미치는 영향에 관한 연구이다.

2. 이 론

2.1 페이저 컨쥬게이션 수중 음향 통신

수중음향채널의 통신성능에 영향을 미치는 주된 환경적 요인으로는 채널의 특수성에 의한 다중경로와 송수신기의 이동에 따른 도플러효과 그리고 주파수와 수온, 거리에 관계되는 손실, 배경잡음 등이 있다. 특히 다중경로에 의한 전송성능의 저하는 통신성능을 결정하는 주된 요인으로 수심에 따른 수온층, 밀도의 변화, 염도의 변화, 그리고 해저면의 특성 등에 따라 그 경로의 형태가 달라져 수중 음향통신시스템의 설계와 제작에 많은 관심을 보이는 부분이다. 그림 1은 다중경로페이딩 수중음향통신 채널 및 조류 등에 의한 송신기의 수평 및 수직방향의 상대운동 상태를 보인다.

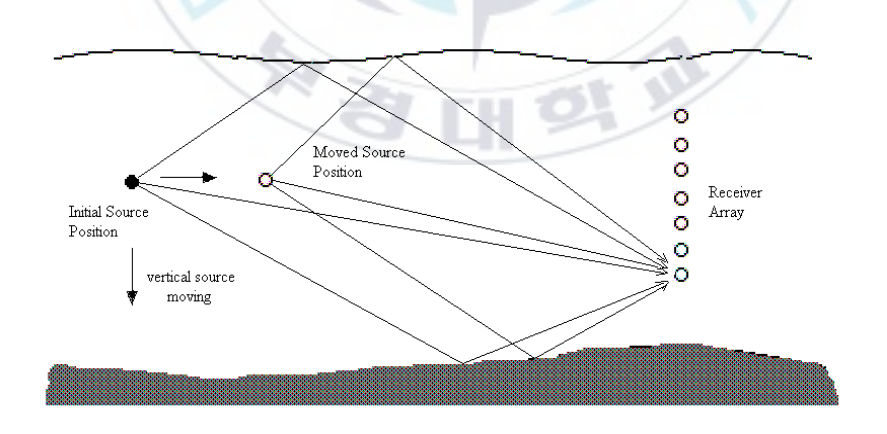


그림 1. 페이저 컨쥬게이션 처리를 이용한 수중음향통신 환경

이러한 다중경로 페이딩 채널은 지연확산의 실효치(root mean square delay spread)로 평가되며, k번째 다중경로의 지연을 τ_k 라 하면 지연확산 실효치 τ_{rms} 는 식 (1)로 정의된다[10].

$$\tau_{rms} = \sqrt{\overline{\tau^2} - (\overline{\tau})^2} \tag{1}$$

여기서, 평균지연 τ 와 τ^2 는 각각 식 (2)로 주어진다.

$$\bar{\tau} = \frac{\sum_{k} P(\tau_k) \tau_k}{\sum_{k} P(\tau_k)} \qquad \bar{\tau}^2 = \frac{\sum_{k} P(\tau_k) \tau_k^2}{\sum_{k} P(\tau_k)}$$
(2)

식 (2)에서 $P(\tau_k)$ 는 k번째 다중경로파의 세기이다.

그림 2는 수조의 주파수 응답특성을 보여주고 있다. 그림에서 보는 바와 같이 다중경로에 의한 채널의 지연확산이 ISI를 발생시키는 주된 요인으 로 볼 수 있다.

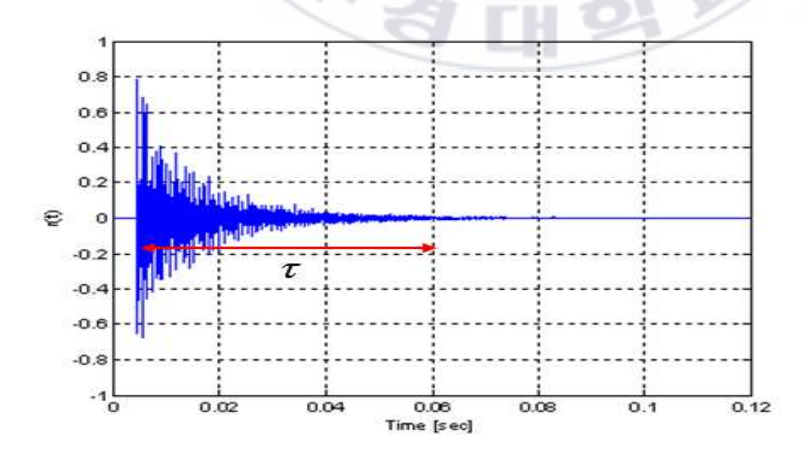


그림 2. 수조의 주파수 응답특성

채널의 지연확산의 실효치 τ_{rms} 의 역수는 채널의 코히어런스 대역폭 B_c 로 근사되고 $(B_c \approx \frac{1}{\tau_{rms}})$, 만일 B_c 가 신호의 대역폭 B_s 보다 작다면 채널은 주파수 선택성을 보이며, 수신신호는 왜곡되어 비트오류가 발생하게된다. 식 (1)로 부터 다중경로의 구조에 따라 주파수 선택성은 달라지며일반적으로 다중경로의 지연이 클수록 주파수 선택성은 커진다. 이러한주파수 선택성에 대응하기 위해 적용하는 페이저 컨쥬게이션 기법의 수중음향통신은 다이버시티 처리기법으로 다중경로에 의한 주파수 선택성을 경감시키는 기술이다.

페이저 컨쥬게이션 수중음향 통신은 초기 송신기의 위치에서 한개의 시험신호펄스가 전송된 후 정보 신호열을 전송하는 것이다.

그림 3 은 페이저 컨쥬게이션 기법으로 시험신호펄스와 데이터 전송형태를 보여주고 있다.

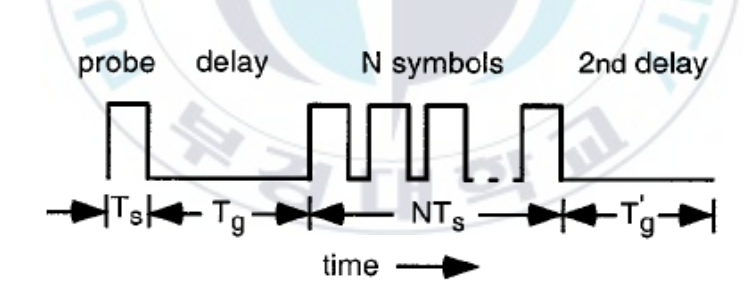


그림 3.시험신호펄스와 데이터전송형태

그림 4는 송신단에서 보낸 전송신호와 각 수신단에서 수신된 신호의 형태를 보여주고 있다.

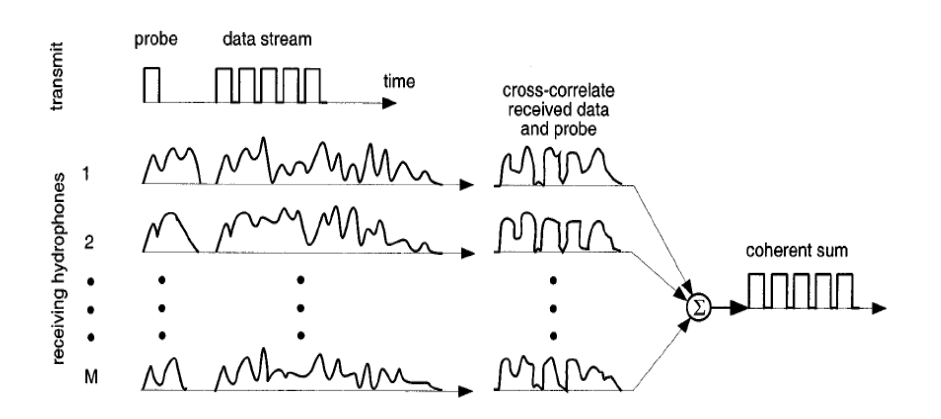


그림 4. 페이져 컨쥬게이션기법을 이용한 송수신형태

해양의 물리적 특성이 시불변이라 가정하면 시험신호펄스의 응답은 시불 변으로 다중경로 페이딩 특성은 송수신기간의 음향채널 특성, 즉 수심, 해 면과 해저의 반사특성 및 음파의 전송손실 등에 의해 결정되지만 송수신 기가 상대 운동하는 경우에는 시간경과에 따라 전송 채널 특성이 변화하 므로 수신신호가 갖는 시변 채널응답과 초기 시험신호펄스의 채널응답은 부정합 상태로 된다. 따라서 초기 시험신호펄스 응답을 이용한 페이저 컨 쥬게이션 기법의 수중음향통신의 비트오류는 시변 특성을 갖게 된다.

2.2 페이저 컨쥬게이션 신호

정보신호를 전송하기 전에 송신하는 시험신호펄스 p(t)는 식 (3)과 같고 정보신호열의 각 신호는 시험신호펄스와 동일한 형상으로 이진정보의 값 에 의해 부호가 결정된다. 식 (3)을 적용하는 경우에 정보신호열의 대역폭 $B_{\rm s}$ 는 전송율의 약 2배가 된다.

$$p(t) = \cos(2\pi f_c t)(1 - \cos(2\pi t/T_b)), \ 0 \le t \le T_b$$
(3)

여기서, f_c 와 T_b 는 각각 반송주파수 및 비트주기이다. 시험신호펄스를 보낸 후 다중반사파의 지연 시간에 비례하는 휴지시간 T_g 후에 정보 신호 열을 전송한다.

송수신기가 고정되어 있는 경우, 이산적인 다중경로만을 고려하면 배열수신기의 i 번째 센서의 임펄스 응답은 식 (4)로 주어진다.

$$h_{i}\left(t\right) = \sum_{k=1}^{K} \alpha_{ik} \delta\left(t - \tau_{ik}\right) \tag{4}$$

여기서 α_{ik} 는 직접파 (k=1)의 진폭으로 규준화된 반사파의 진폭이고 au_{ik} 는 직접파와 반사파의 지연이다. 따라서 i 번째 센서의 시험신호펄스 응답 $r_{ni}(t)$ 는 식 (5)로 주어진다.

$$r_{pi}(t) = p(t) * h_i(t) = \sum_{k=1}^{K} \alpha_{ik} p(t - \tau_{ik})$$
 (5)

시험신호펄스에 대한 페이저 컨쥬게이션 신호는 시험신호펄스 응답의 자기상관 신호로 식 (6)로 주어지고, 식 (7)은 식(6)의 스펙트럼이다.

$$y_{i}\left(t\right) = r_{\mathrm{pri}}\left(t\right) \times r_{\mathrm{pri}}\left(-t\right) = \sum_{k=1}^{K} (\alpha_{ik})^{2} R_{\mathrm{prp}}(t) + \sum_{\substack{k_{1}=1\\k_{1}\neq k_{2}}}^{K} \sum_{k_{2}=1}^{K} \alpha_{ik_{1}} \alpha_{ik_{2}} R_{\mathrm{prp}}\left(t + \tau_{ik_{1}} - \tau_{ik_{2}}\right) \tag{6}$$

$$Y_{i}(f) = \sum_{k=1}^{K} (\alpha_{ik})^{2} G_{pp}(f) + \sum_{\substack{k_{1}=1 \ k_{2}=1 \ k_{2}=k}}^{K} \sum_{k_{2}=1}^{K} \alpha_{ik_{2}} \alpha_{ik_{2}} G_{pp}(f) \cos 2\pi f (\tau_{ik_{1}} - \tau_{ik_{2}})$$

$$(7)$$

여기서 $R_{pp}(t)$ 는 시험신호펄스의 자기상관이다.

식 (6)에서 첫째항은 각 반사파 세기의 합으로 전체 세기가 결정되며 주엽으로 정의된다. 두 번째 항은 서로 다른 경로를 갖는 다중반사파의 진폭의 곱으로 시험신호의 자기상관 신호가 $(\tau_{ik_1} - \tau_{ik_2})$ 만큼 지연되어 나타나며 부엽으로 정의된다. 따라서 각각의 반사파의 시간축 상 분포가 상호 독립이면, 반사파의 수가 많을수록 주엽의 세기는 상대적으로 커지게된다. 식 (7)의 스펙트럼 특성에서 첫째 항은 각 반사파의 세기 합으로 주어지는 시험신호펄스의 스펙트럼이고 두 번째 항은 $\frac{1}{|\tau_{ik_1} - \tau_{ik_2}|}$ 의 주파수 간격으로 시험신호펄스의 대역 내에서 주파수에 따른 간섭을 보이는 주파수 선택채널 특성이다.

다중경로의 개수가 제한되어 있는 경우, 부엽에 대한 주엽의 세기를 상대적으로 크게 하고 대역내의 간섭효과 즉 주파수 선택성을 줄이기 위해서 배열 수신기를 사용하여 다이버시티 처리를 수행한다. M개의 배열 센서로 구성되어 있는 경우 식 (6)과 (7)를 동기 가산한 페이저 컨쥬게이션 신호는 식 (8)과 (9)로 주어진다.

$$y(t) = \sum_{i=1}^{M} \sum_{k=1}^{K} (\alpha_{ik})^{2} R_{pp}(t) + \sum_{i=1}^{M} \sum_{\substack{k_{1}=1\\k_{1} \neq k_{2}}}^{K} \sum_{k_{2}=1}^{K} \alpha_{ik_{1}} \alpha_{ik_{2}} R_{pp}(t + \tau_{ik_{1}} - \tau_{ik_{2}})$$
(8)

$$Y(f) = \sum_{i=1}^{M} \sum_{k=1}^{K} (\alpha_{ik})^{2} G_{pp}(f) + \sum_{i=1}^{M} \sum_{\substack{k_{1}=1\\k_{1} \neq k_{2}}}^{K} \sum_{k_{2}=1}^{K} \alpha_{ik_{1}} \alpha_{ik_{2}} G_{pp}(f) cos2\pi f(\tau_{ik_{1}} - \tau_{ik_{2}})$$

(9)

식(8)에서 직접 전달파를 포함하여 K개의 반사파가 있는 경우 단일 수신기의 출력은 K^2 개의 시험신호의 자기상판 펄스열로서 나타난다. 여기서 왜곡되지 않는 주엽 신호를 형성하는 시간중심축상의 K개는 식(6)에서보이는 바와 같이 각 반사파 세기의 합으로 나타난다. 나머지 K(K-1)개는 부엽신호를 형성하고 주엽신호와는 다른 시각에 분포한다. 따라서 정보 신호열을 시험신호펄스열로서 전송하는 수중음향통신에서 부엽신호는 인접하는 정보신호에 간섭신호로서 작용한다. 다중반사파의 효과를 경감하기위해 적용하는 다이버시티 기법에서 요구되는 수신기 배열조건은 각수신기에서 수신하는 다중반사파의 시간 지연 분포 특성이 서로 다른 특성을 갖도록 하는 것이다. 수직과 수평배열에 관계없이 각 수신기의 간격이 충분히 큰 경우 이러한 조건을 만족시킬 수 있고, 보통은 수신기 간격이 대상으로 하는 신호 파장의 수배 이상이면 만족하는 것으로 알려져 있다. 이러한 조건에서 각 수신기의 부엽의 세기는 상쇄 간섭으로 커지지않는다.

따라서 M개의 센서를 사용하는 경우 MK^2 개의 시험신호 자기상관 필스중 주엽을 구성하는 MK개는 시간축 중심에서, 간섭신호 성분이 되는 MK(K-1)개는 다른 시각에 나타난다. 해석을 간단히 하기위해 각 반사파의 세기가 동일하다고 가정하면, 주엽 신호에 대한 다중반사 간섭신호비 $SMR(Signal\ to\ multipath\ interference\ ratio)은 식(10)으로 주어진다.$

$$SMR = (MK)^2 / MK(K-1) = MK / (K-1) \approx M$$
 (10)

실제의 경우 각 수신기의 개별 반사파의 세기는 수신기에 따라 달라 식 (10)과는 차이가 있지만 송수신기간의 거리가 상대적으로 큰 경우에는 식 (10)의 조건은 만족된다. 따라서 M개의 수신기를 배열하는 경우, SMR은 $10\log(M)$ 으로 개선된다. 전형적인 범포밍 기법에서 신호대 반사 신호에너지의 비 SMR = M/(K-1) 로 주어져 반사파의 수가 많아지면 배열의효과는 없어지게 된다. 주파수 영역의 특성을 보이는 식 (9)의 두 번째 항으로 주어지는 대역내의 부엽에 의한 간섭효과는 상호 상쇄되어 주파수선택성이 경감된다.

2.3 BPSK 신호의 비트오류 분석

식 (11)은 식 (8)을 BPSK 정보 신호열에 적용한 결과로 코히어런트 복 조기의 입력신호이다.

$$I_{y}(t) = \sum_{i=1}^{M} \sum_{n} I_{n} \sum_{k=1}^{K} (\alpha_{ik})^{2} R_{pp}(t - n T_{b}) + \sum_{i=1}^{M} \sum_{n} I_{n} \sum_{\substack{k_{1}=1\\k_{1} \neq k_{2}}}^{K} \sum_{k_{2}} \alpha_{ik_{1}} \alpha_{ik_{2}} R_{pp}(t + \tau_{ik_{1}} - \tau_{ik_{2}} - n T_{b})$$

$$(11)$$

식 (11)에서 첫째 항은 현재의 정보신호에 대응되고 둘째 항은 부엽의 크기에 의해 결정되는 인접하는 정보신호에 의한 ISI 성분이다. 여기서 I_n 은 +1 혹은 -1의 값을 갖는 이진데이터의 시계열이다. 식(11)의 첫째항은 현재의 정보신호이고, 두 번째 항은 현재의 정보신호 전후의 정보신호

가 현재의 정보신호에 부가되어 ISI를 야기 시키는 성분으로 식 (8)로 주어지는 주엽에 대한 부엽신호의 상대적 크기에 의해 영향도가 결정된다. 언급한 바와 같이 모든 센서의 다중반사파가 시간축 상에서 랜덤하게 독립적으로 분포하고 배열센서의 개수가 증가하면 식 (11)의 두 번째 항의 영향은 적어진다.

이상의 해석은 송신기와 수신기가 고정되어 있는 경우이다. 수신기는 고정되어 있고 송신기가 운동한다고 가정하면, 시험신호펄스 송신시의 초기 다중경로 구조와 정보신호 수신시의 다중경로 구조는 시간 경과에 따라 변화하게 되므로 초기의 시험신호펄스 응답을 이용하는 페이저 컨쥬게이션 처리 결과는 시간 경과에 따라 변화하게 되어 전달함수 부정합이 일어나게 된다. 식 (11)의 부정합 상태 표현은 식 (12)와 같다.

$$Iy(t) = \sum_{i=1}^{M} \sum_{n} I_{n} \sum_{k=1}^{K} (\alpha_{ik} \alpha_{ik}') R_{yy}(t + \tau_{ik} - \tau_{ik}' - n T_{b}') + \sum_{i=1}^{M} \sum_{n} I_{n} \sum_{\substack{k_{1} = 1 \\ k_{1} \neq k_{2}}}^{K} \sum_{k_{2}} \alpha_{ik_{1}} \alpha_{ik_{2}}' R_{yy}(t + \tau_{ik_{1}} - \tau_{ik_{2}}' - n T_{b}')$$

$$(12)$$

여기서, "'"은 송신기가 운동하는 경우의 임의시각에서의 다중경로 반사파이다. 송수신기간의 거리에 비해 상대운동거리가 상대적으로 작다면 각 다중경로 반사파의 진폭은 일정하다고 할 수 있다. 따라서 식 (12)의두 번째 항인 부엽의 세기변화 및 주파수 선택성은 일정하다. 그러나 주엽을 나타내는 첫째항에서 $|\tau_{ik}-\tau_{ik}'|$ 은 0이 아니므로 주엽은 시간 축 상에서 지연 확산되고 주엽 자체 내에서 간섭이 일어난다.

본 연구에서 고려하는 상관 복조기를 고려하면, 식 (11) 및 (12)의 페이저 컨쥬게이션 처리신호는 1개 비트 주기간격으로 시험신호 펄스 p(t) 와의 상관계수 값으로 정보 데이터가 결정된다. 송수신기가 고정되어 있는 경우, 상관계수는 식 (13)으로 주어진다.

$$\rho_{I_{y}} = \frac{1}{(E_{I_{y}}E_{p})^{1/2}} \int_{0}^{T_{b}} fy(t)p(t)dt$$
(13)

여기서, E_{Iy} 와 E_p 는 $I_y(t)$ 와 p(t)의 에너지이다. 식 (11)의 첫째 및 두번째 항에서 보는 바와 같이 첫째항의 주엽은 이진정보 값에 따라 '+1'혹은 '-1'의 값으로 결정되고, 두 번째 항의 부엽은 인접하는 정보신호에 의한 ISI 성분으로 이진정보의 분산 값이 된다. 송수신기가 상대 운동하는 경우의 식 (12)의 경우, 두 번째 항의 성분은 송수신기가 고정되어 있는 경우의 값으로 가정할 수 있는 반면, 첫째항의 주엽 성분은 언급한 바와같이 송수신기 고정인 경우에 비해 시간축 상에서 확산되고, 주엽내에서간섭이 일어나 송수신기 고정인 경우의 '+1'보다 적은 값을 갖고, '-1'의 값보다 큰 값을 갖게 되며 부엽에 의한 분산은 일정하므로 비트 오류 확률이 커지게 되고 잡음에 취약하게 된다.

3. 모의실험 및 결과

모의실험 환경은 수심 60m, 해면과 해저의 반사계수를 각각 -0.8과 0.6 으로 하였다. 수신기 배열센서 개수와 센서간격은 각각 7개와 4m로 하였고 반사파는 직접파를 포함하여 7개로 하였다. 송신기의 깊이는 22m이고수신기 배열센서의 깊이는 20/24/28/32/36/40/44m이며 초기 송수신기의수평거리는 500m 와 1500m이다. 식 (1)에 의해 결정되는 배열 중심센서의 지연확산 실효치는 500m 와 1500m에서 각각 약 5msec와 2msec로 코히어런스 대역폭은 200Hz와 500Hz이다. 따라서 단일 센서를 이용하는 경우 전송율은 각각 100bps와 250bps로 제한된다. 본 연구에서 적용한 전송율은 2Kbps이고 반송주파수는 20Khz이다.

그림 2는 시험신호펄스 및 시험신호펄스의 지연확산 특성이다.

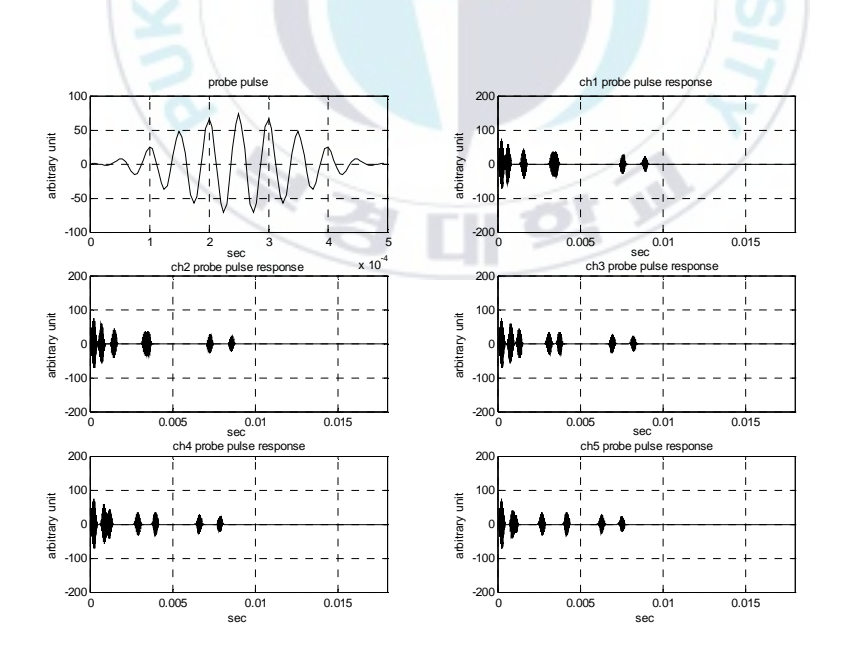


그림 2. 시험신호펄스 및 각 센서의 시험신호펄스 응답

그림 3은 식 (6)과 (8)로 주어지는 시험신호펄스 응답의 시역전 신호를 컨벌루션한 페이저 컨쥬게이션 신호로 각 센서의 결과와 7개 센서의 동 기 가산 합성 결과이다. 동기 가산 합성하는 경우 이론적으로 얻을 수 있 는 약 10dB의 이득을 보인다. 즉 7 개의 센서를 배열하는 경우 신호대 다 중경로 간섭신호비는 10log(7)로 개선됨을 보인다.

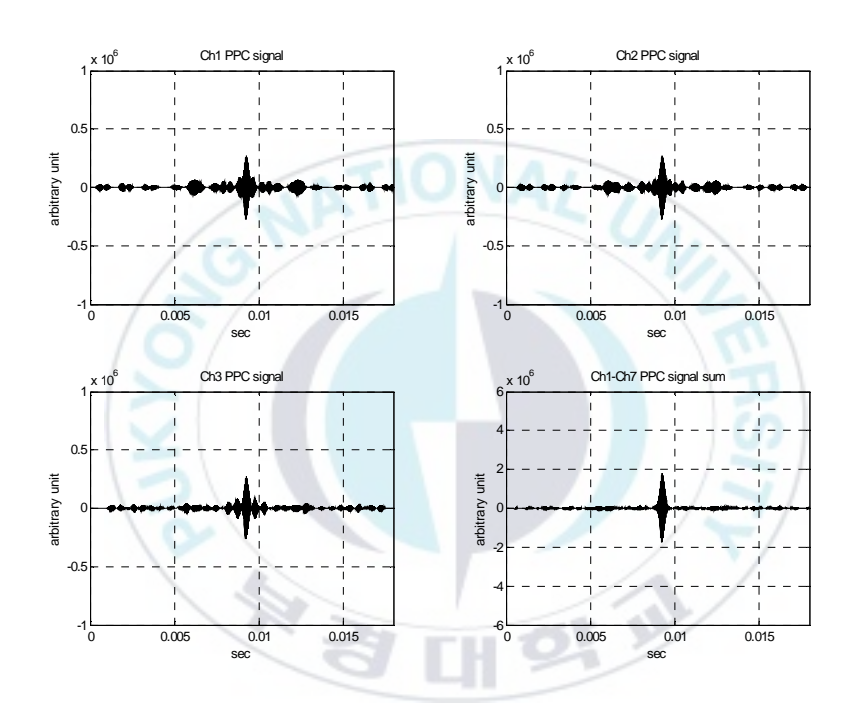


그림 3. 개별 센서 및 7개 센서 동기가산 페이저 컨쥬게이션 신호.

그림 4는 초기 송수신기 거리가 1500m인 경우의 센서 개수 및 송수신 신기 상대운동에 따른 페이저 컨쥬게이션 처리신호의 주부엽 특성 및 주 파수 선택성 특성이다. 그림에서 보는 바와 같이 단일 센서의 경우, 신호 대역내의 간섭은 주파수 선택성을 보이며 정밀 분석 결과는 간섭 간격은 약 500Hz로 식 (1)로 주어지는 코히어런스 대역폭과 일치한다. 센서수가 증가하면 이득이 커지고, 아울러 다중반사파에 의한 주파수 선택적인 페이딩 효과가 감소한다. 송신기가 수평방향으로 수신기에 접근하는 그림 4(b)에서, 주엽의 상대적인 크기가 작아진다.

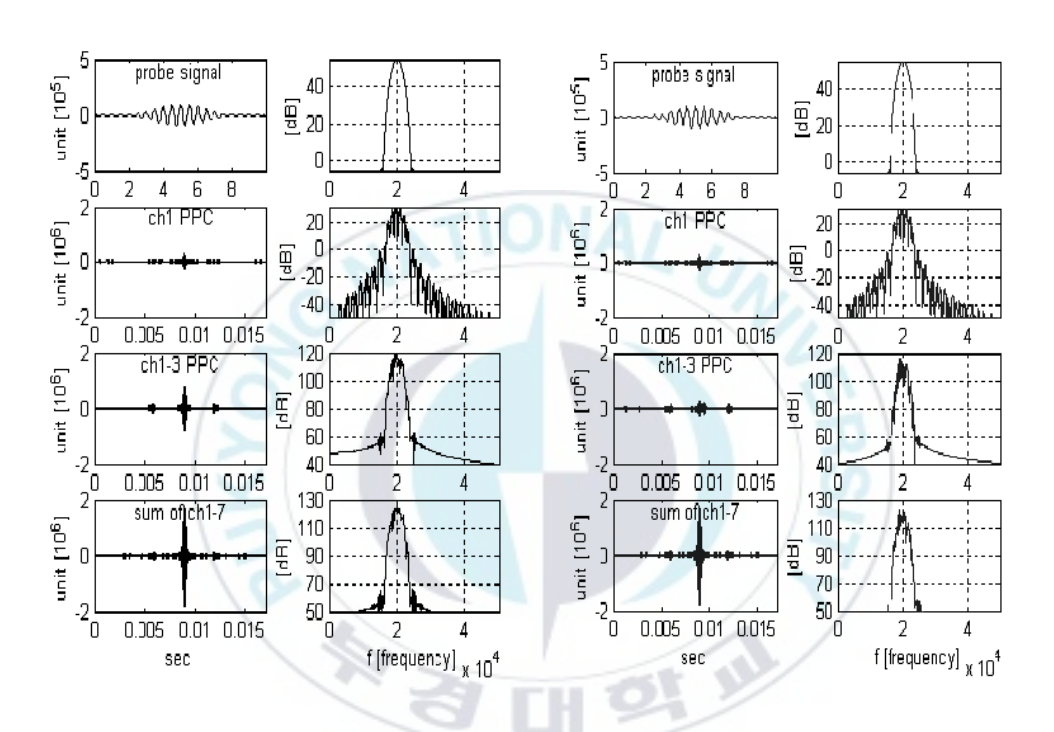


그림 4. 배열 센서 개수와 송신기 상대운동에 따른 주부엽 및 주파수 선택성 특성 : (a) 송수신기 고정 (b) 송수신기 상대운동

그림 5(a)는 송수신기간의 거리를 1500m 로 고정한 상태의 시험신호펄스와 정보 신호열의 송수신신호이고 그림 5(b)는 수신신호를 페이저 컨쥬게이션 처리한 신호이다. 동기 가산 합성한 신호는 단일 센서의 신호보다송신신호와 잘 일치하는 특성이다.

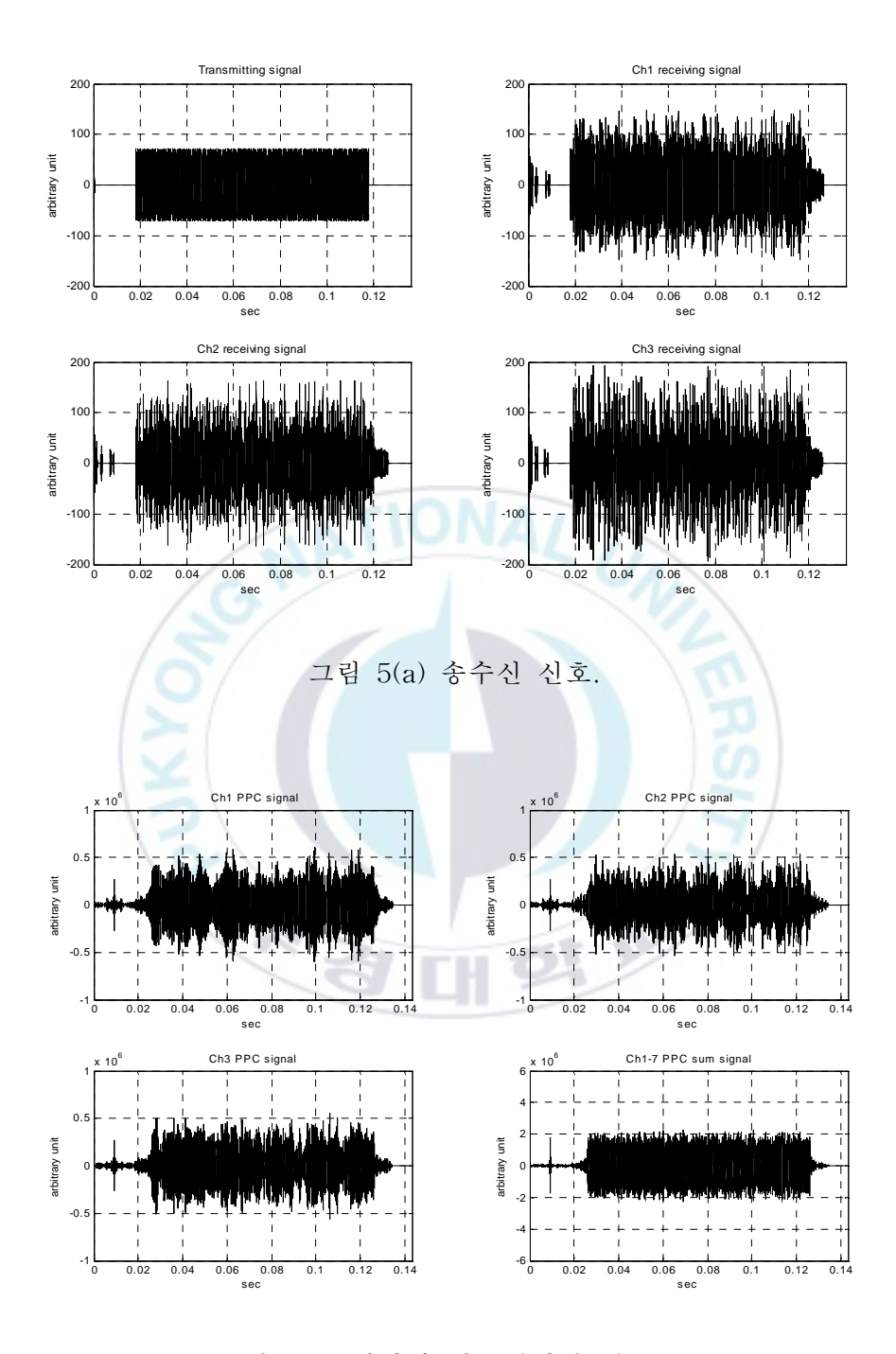


그림 5(b) 페이저 컨쥬게이션 신호.

그림 6은 복조 출력 특성이다. 그림에서 '*'표시는 이진 정보'+1'을 전송한 경우이고 '+'표시는 이진 정보'-1'을 전송한 경우이다. 제안하는 기법을 적용하지 않은 센서 한 개의 수신신호를 처리한 첫 번째는 신호대역폭(B_s =4000Hz)보다 채널의 코히어런스 대역폭(B_c =500Hz)이 작으므로 오류율이약 0.08이지만 본 연구의 기법을 적용한 경우 3개 이상의 센서를 사용하는 경우 비트오류는 없었다. 아울러 배열 센서 개수를 증가시키면 SMR이 커져 보다 정확히 전송정보가 결정될 수 있음을 보인다.

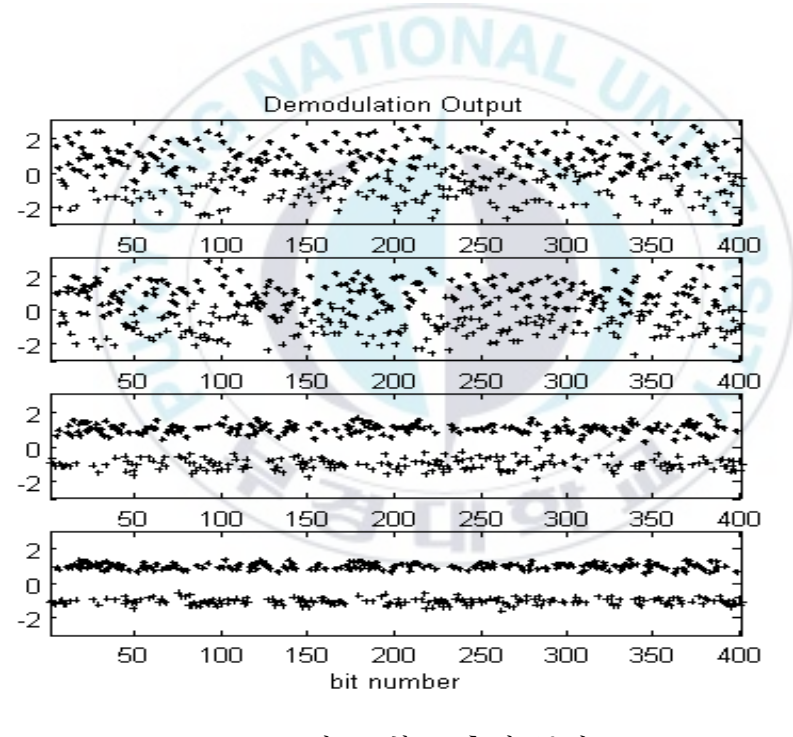


그림 6. 복조 출력 특성

(위로부터: PC 처리를 하지 않은 ch1 출력, PC 처리를 행한 ch1 출력, ch1-ch3 PC 처리 가산 합성 출력, ch1-ch7 PC 처리 가산 합성 출력)

그림 7은 송신기가 초기 1500m 위치에서 1490m 위치로 수신기에 접근한 경우로써 송수신기가 고정된 경우와 비교하였다. 식 (12)에서 해석한 바와 같이 전달함수 부정합에 의해 주엽과 정보신호열의 세기가 고정인경우에 비해 작아진다.

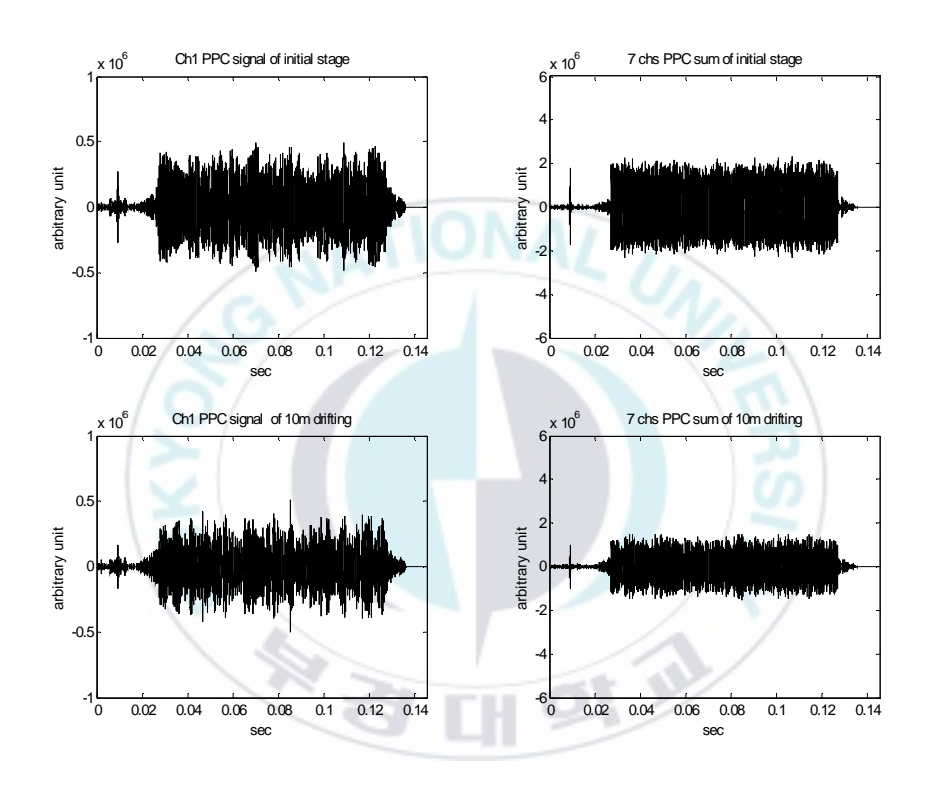


그림 7. 송신기가 상대 운동하는 경우의 페이저 컨쥬게이션 신호

그림 8은 표류하는 경우의 채널 주파수 선택성으로 전체적으로 고정인 경우에 비해 약 5dB 정도 낮은 값이 된다. 따라서 수신신호의 코히어런스가 작아져서 복조 출력의 이진정보간의 거리가 작아지게 되어 잡음에 취약하게 된다.

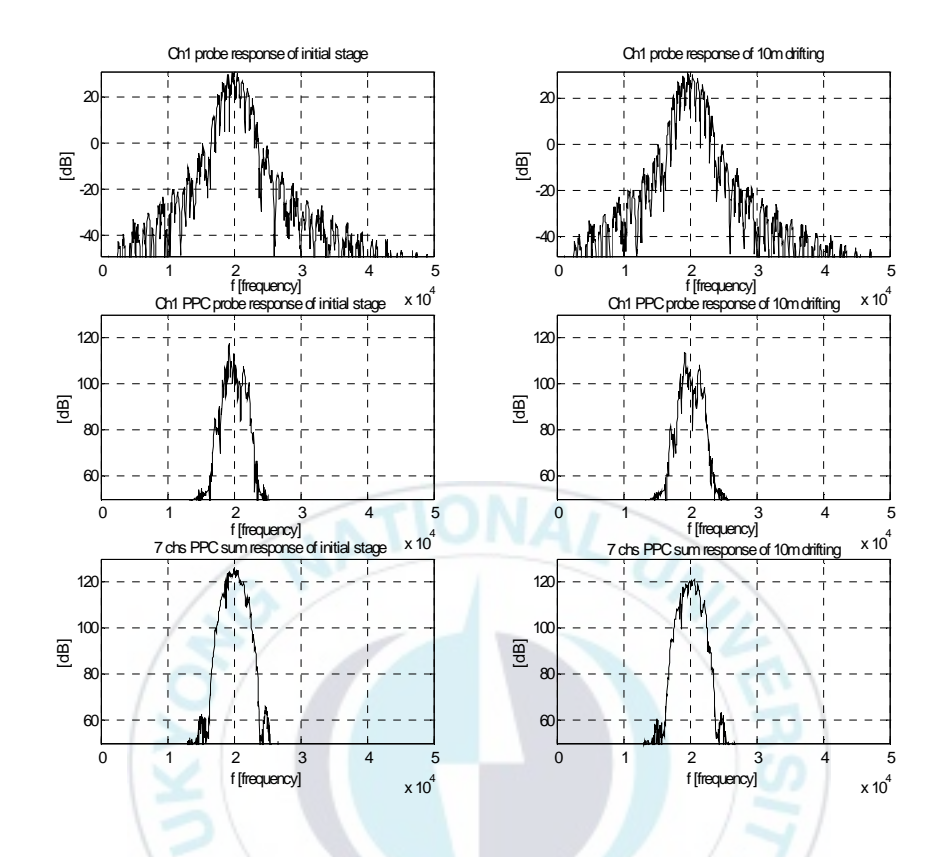


그림 8. 송신기가 상대 운동하는 경우의 주파수 선택성 특성

그림 9(a) 및 9(b)는 송신기가 수평 및 수직 운동할 때의 식 (13)에 의한 상관계수 특성이고 그림 10(a) 및 10(b)는 대응되는 경우의 복조 출력특성이다. 초기 상태에서는 정보데이터의 값인 +1과 -1로 복조되며 상대운동 거리의 증가에 따라 전체적으로 상관계수가 작아져 비트오류가 증가하며, 거리 변화에 따라 상관계수는 선형적으로 변화하지 않는 특성을 보인다. 채널의 변화가 상대적으로 큰 수직방향과 근거리 위치에서 상관계수 및 비트오류 변화율이 크다.

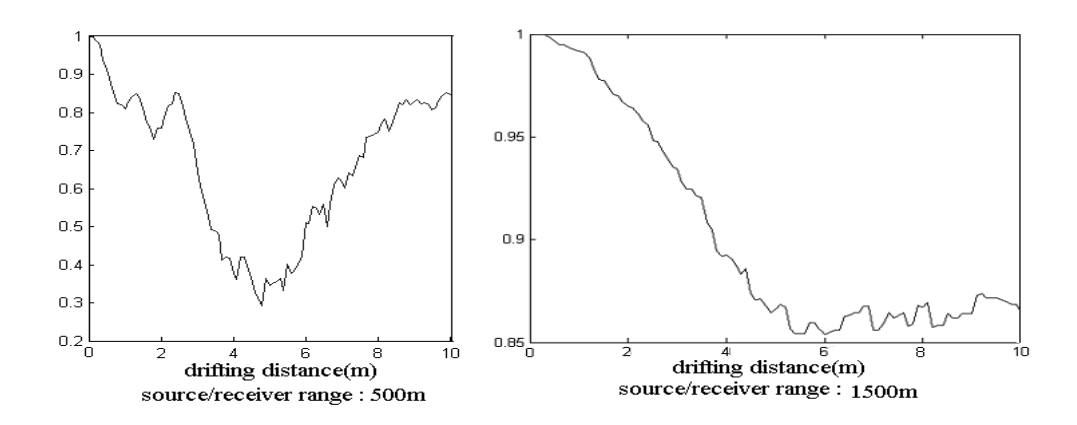


그림 9(a). 송수신기간의 초기 거리 및 송신기의 수평방향 운동에 따른 상관계수 특성

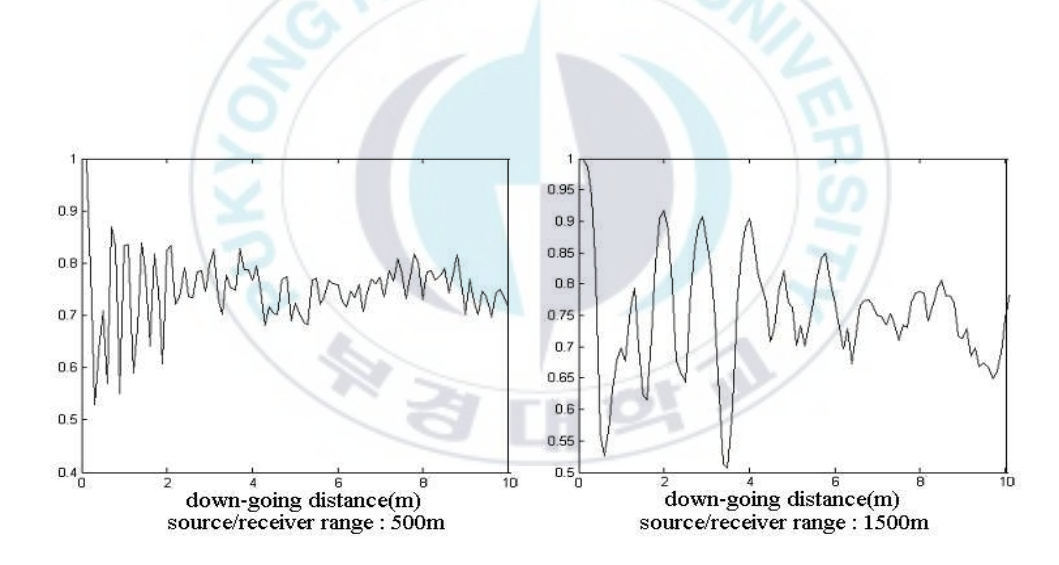


그림 9(b). 송수신기간의 초기 거리 및 송신기의 수직방향 운동에 따른 상관계수 특성

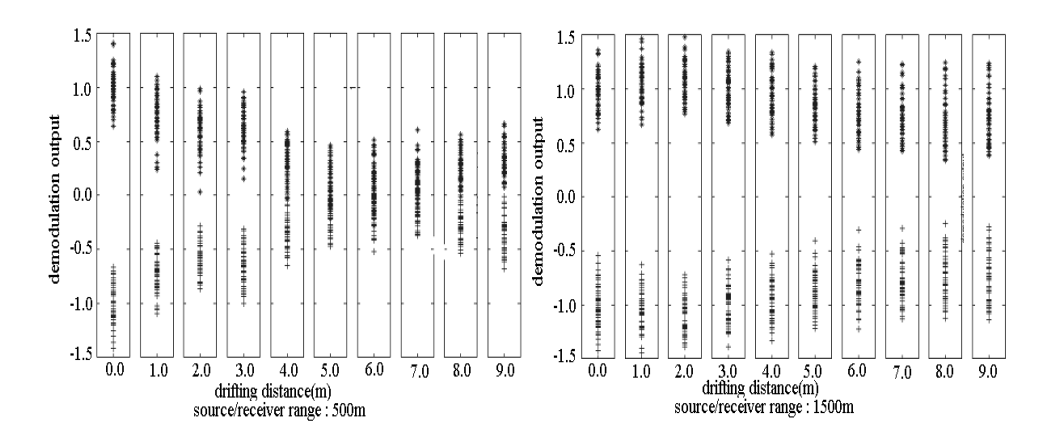


그림 10(a). 송신기의 수평방향 운동에 대한 그림 9(a)의 비트 오류율 특성

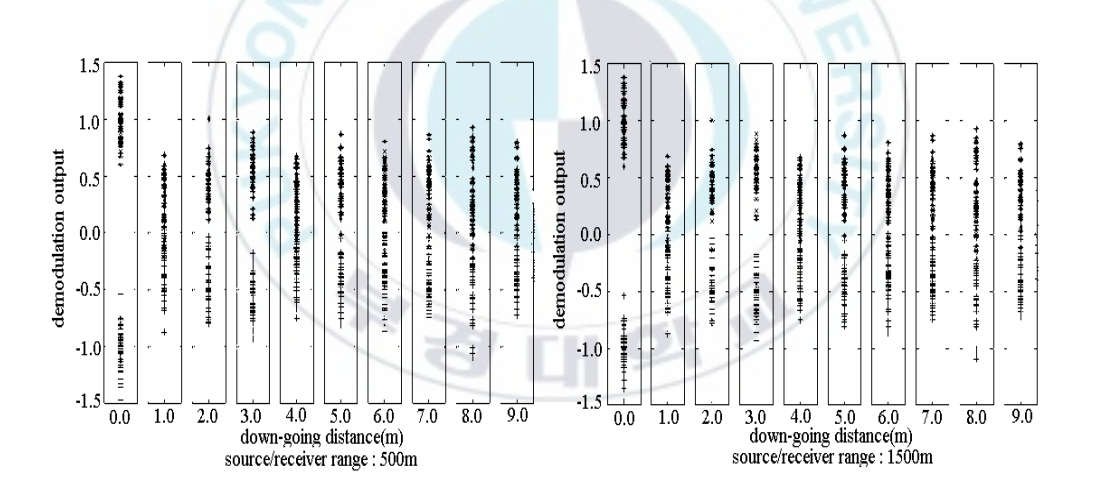


그림 10(b). 송신기의 수직방향 운동에 대한 그림 9(b)의 비트 오류율 특성

4. 결 론

수중음향채널의 다중경로에 의한 수신신호의 지연확산에 의한 ISI를 감소시키기 위해 페이저 컨쥬게이션 기법을 적용하였다. 모의 실험결과 수신기 배열센서 개수의 증가에 따라 신호 대 다중경로 간섭신호비가 증가하고 주파수 선택성이 경감되어 비트 오류율이 작아졌다. 송신기가 상대운동하는 경우에는 초기상태와 운동 상태간의 채널 전달함수 부정합에의해 수신되는 정보신호열의 신호 세기가 고정인 경우에 비해 작아진다. 따라서 수신신호의 상관계수가 작아져서 복조 출력의 이진 정보 값이 작아지게 되어 다중경로 간섭신호 및 잡음에 취약하게 된다. 채널의 변화가상대적으로 큰 수직방향과 근거리 위치에서 상관계수 및 비트오류 변화율이 크다.

실제 시스템으로 구현하기 위해서는 송수신기의 동기화, 천해환경에서 고려해야 하는 연속 잔향음장 및 송수신기의 수직운동에 의한 채널 특성과 도플러 확산 등에 관한 추가적인 연구가 요구되며 상대운동으로 인한 오류율 증가에 대응하는 Decision Feedback Equalizer 기술의 적용이 필요하다.

참고문헌

- [1] Milica Stojanovic, "Recent Advance in High Speed Underwater Acoustic Communications," IEEE Journal of Oceanic engineering, Vol. 21, No. 2, 125–136, 1996.
- [2] Arthur B. Baggeroer, "AcousticTelemetry -Overview," IEEE Journal of Oceanic Engineering, Vol. OE-9,No 4, October 1984.
- [3] D. Billon and B. Quellec, "Performance of High Data Rate Acoustic Underwater Communication Systems Using Adaptive Beamforming and Equalizing," Proc. IEEE OCEANS 94', 507–512, 1994.
- [4] 김병철, I-Tai Lu, "OFDM 수중음향통신 신호처리 설계와 성능평가," 한국음향학회 학술대회 발표논문집, 제23권 제2호(s), 487-490, 2004.
- [5] Aatares Parvulescu, "Matched-signal("MESS") Processing by the Ocean," J. Acoust. Soc. Am., 98(2), 943-960, 1995.
- [6] David R. Dowling, "Acoustic pulse compression using passive phase-conjugate processing," J. Acoust. Soc. Am., vol 95, no. 3, 1450-1458, 1994.
- [7] Daniel Rouseff, et al., "Underwater Acoustic Communication by Passive-Phase Conjugation: Theory and Experimental Results," IEEE I. Oceanic Engr.m 26(4), 821-831, 2001.
- [8] T. C. Yang, "Differences Between Passive-Phase Conjugation and Decision-Feedback Equalizer for Underwater Acoustic Communications," IEEE Journal of Oceanic Engineering, Vol. 29, No. 2, April 2004.
- [9] John A. Flynn, James A. Ritcey, Daniel Rouseff, and Warren L.J.

Fox, "Multichannel Equalization by Decision-Directed Passive Phase Conjugation: Experimental Results," IEEE Journal of Oceanic Engineering, Vol. 29, No. 3, July 2004.

[10] Hongbin Li, Duixian Liu, Jian Li, Petre Stoica, "Channel order and RMS delay spread estimation with application to AC power line communications," Digital Signal Processing 13, 284–300, 2003.

